

Ladrilhamentos com triângulos e quadrados: origami e métodos de inflação

LHF60++

Celebrating the 60th Birthday of
Luiz Henrique de Figueiredo

25/01/2023

José Ezequiel Soto Sánchez

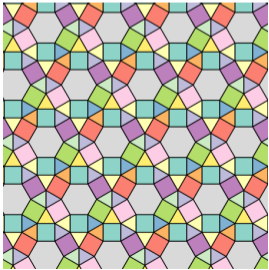
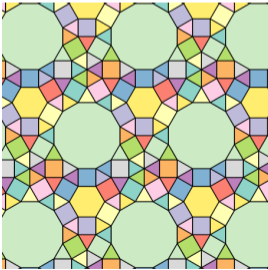
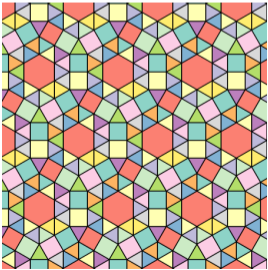
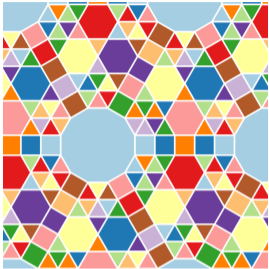
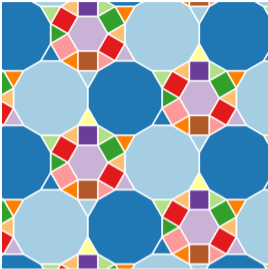
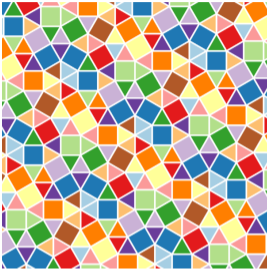
impa



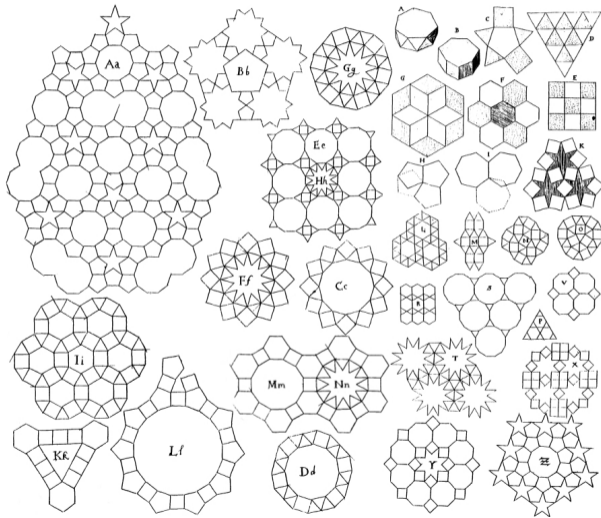
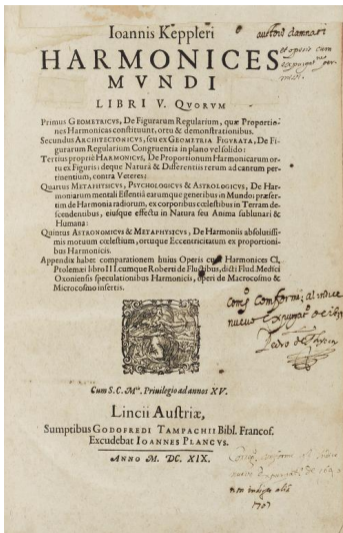
Instituto de
Matemática
Pura e Aplicada

Introdução

Ladrilhamentos periódicos com polígonos regulares: rigidez & variedade

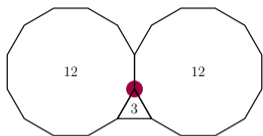


O problema é antigo: Kepler fez o primeiro tratamento formal em 1619

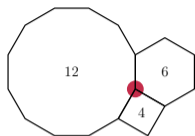


Vértices Arquimedianos $\left(\sum_{i=1}^n \frac{k_i-2}{k_i} = 2\right)$

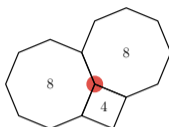
$n = 3$



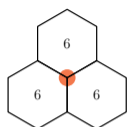
G
 $(3 \cdot 12^2)$



H
 $(4 \cdot 6 \cdot 12)$

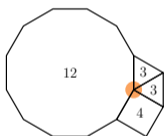


J
 $(4 \cdot 8^2)$

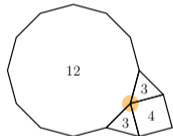


K
 (6^3)

$n = 4$



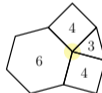
L
 $(3^2 \cdot 4 \cdot 12)$



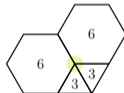
M
 $(3 \cdot 4 \cdot 3 \cdot 12)$



N
 $(3 \cdot 4^2 \cdot 6)$



P
 $(3 \cdot 4 \cdot 6 \cdot 4)$



Q
 $(3^2 \cdot 6^2)$



R
 $(3 \cdot 6 \cdot 3 \cdot 6)$



S
 (4^4)

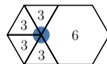
$n = 5$



T
 $(3^3 \cdot 4^2)$



U
 $(3^2 \cdot 4 \cdot 3 \cdot 4)$



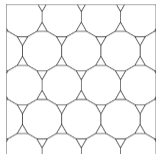
V
 $(3^4 \cdot 6)$

$n = 6$

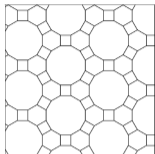


W
 (3^6)

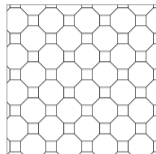
Teselaciones clásicas: 1-uniformes



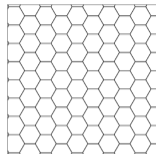
G
($3 \cdot 12^2$)



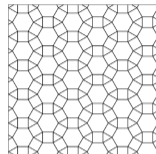
H
($4 \cdot 6 \cdot 12$)



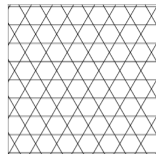
J
($4 \cdot 8^2$)



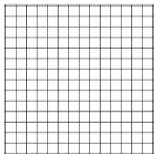
K
(6^3)



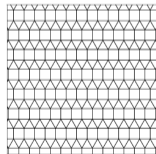
P
($3 \cdot 4 \cdot 6 \cdot 4$)



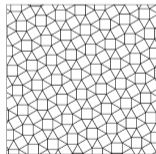
R
($3 \cdot 6 \cdot 3 \cdot 6$)



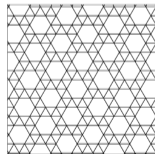
S
(4^4)



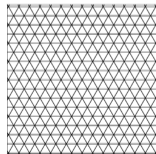
T
($3^3 \cdot 4^2$)



U
($3^2 \cdot 4 \cdot 3 \cdot 4$)

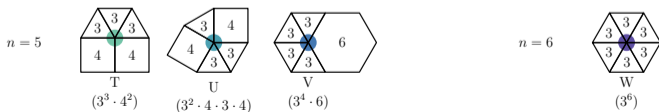
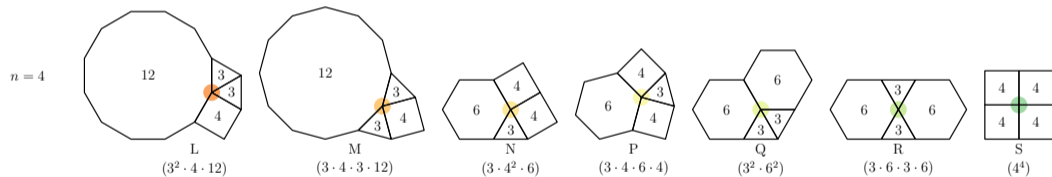
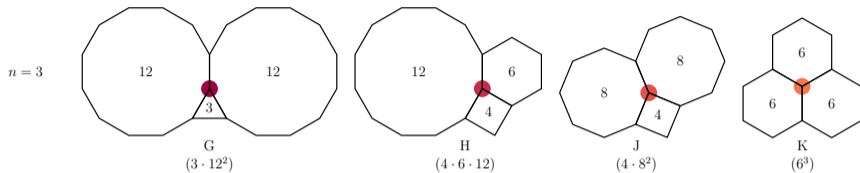


V
($3^4 \cdot 6$)

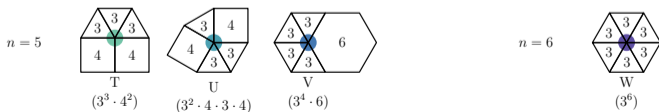
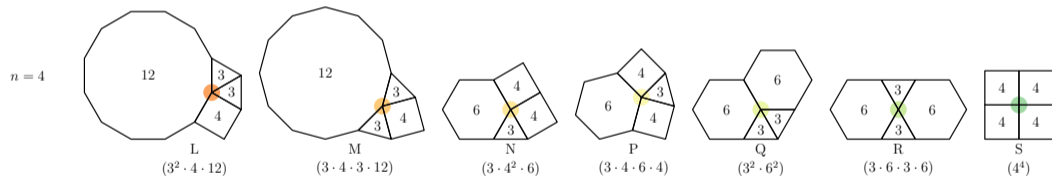
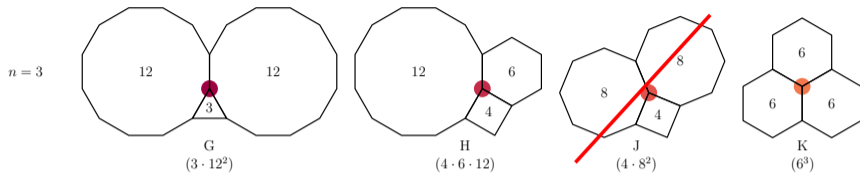


W
(3^6)

Vértices Arquimedianos

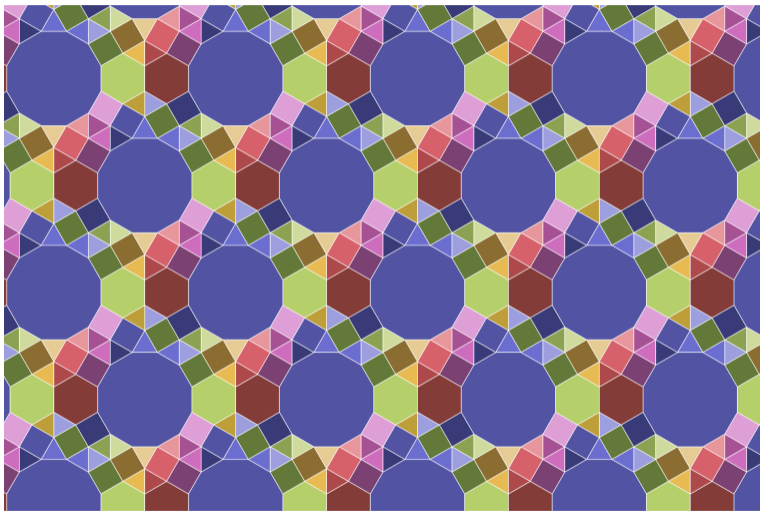


Vértices Arquimedianos

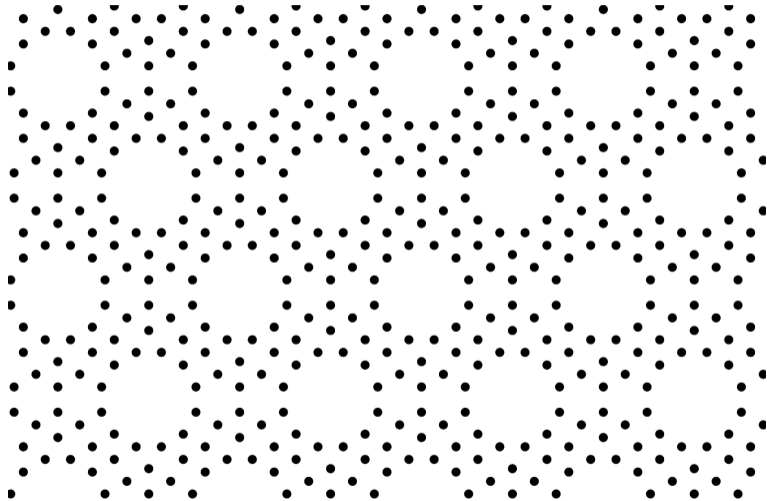


Representação inteira

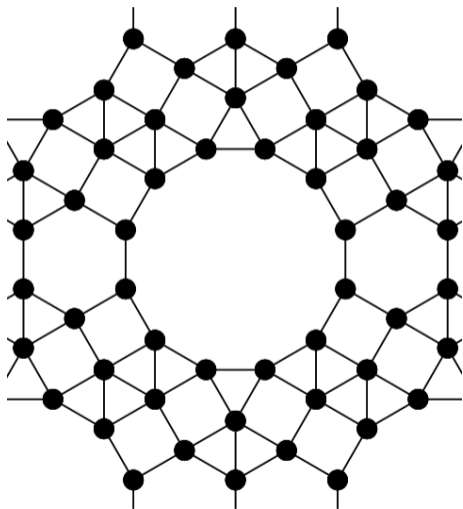
Filosofia da representação



Filosofia da representação



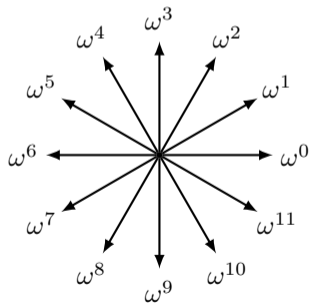
Retícula (rede): aristas alineadas con algunas direcciones básicas



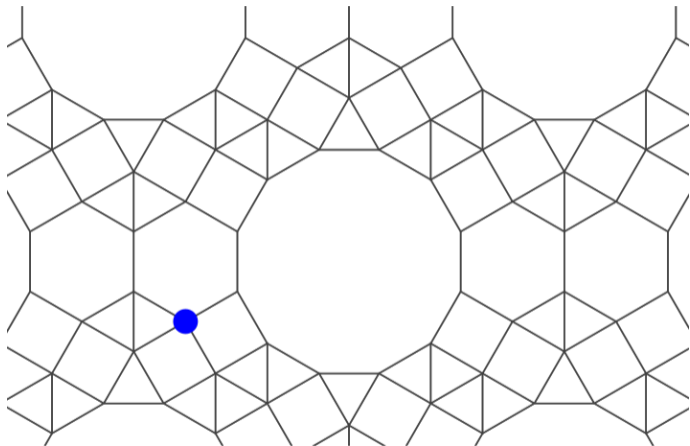
raíces de le unidad

$$\omega^{12} = 1, \quad \omega = e^{\frac{2\pi i}{12}}$$

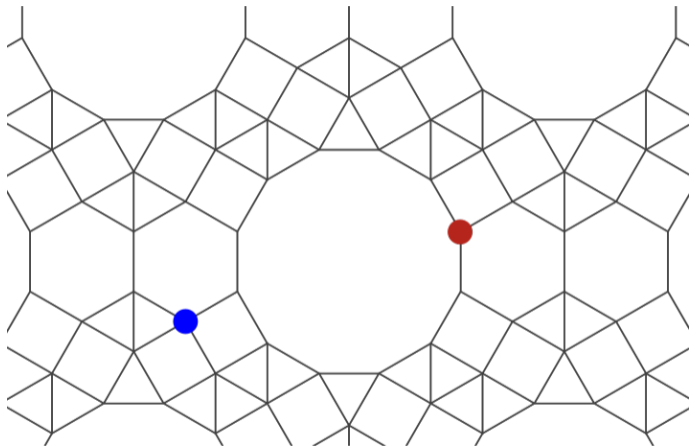
$$\omega^n = e^{\frac{2\pi i}{12}n}, \quad n \in \{0, 1, \dots, 11\}$$



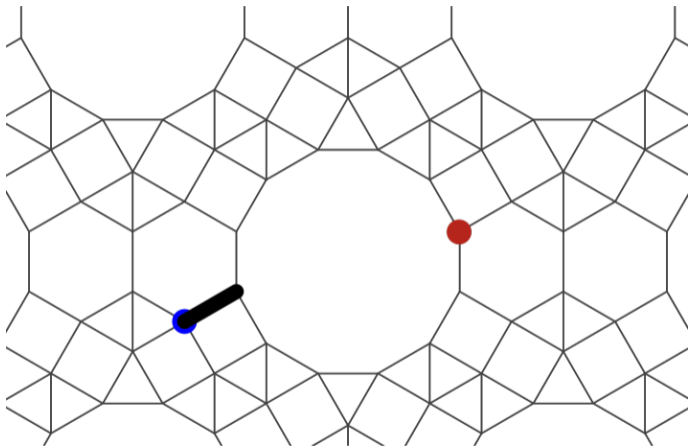
Coordenadas inteiras: vértices en $\mathbb{Z}[\omega]$



Coordenadas inteiras: vértices en $\mathbb{Z}[\omega]$

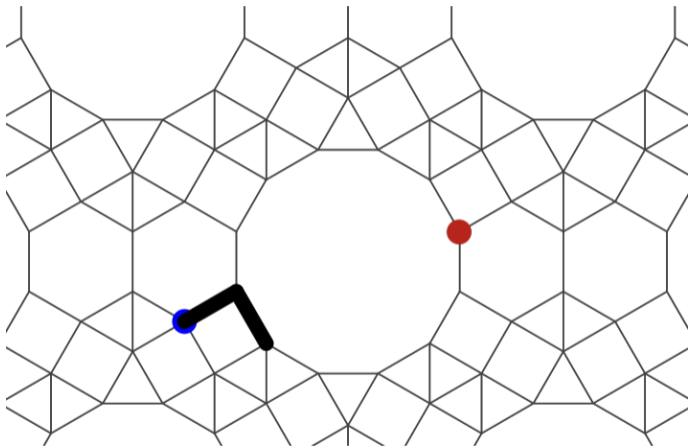


Coordenadas inteiras: vértices en $\mathbb{Z}[\omega]$



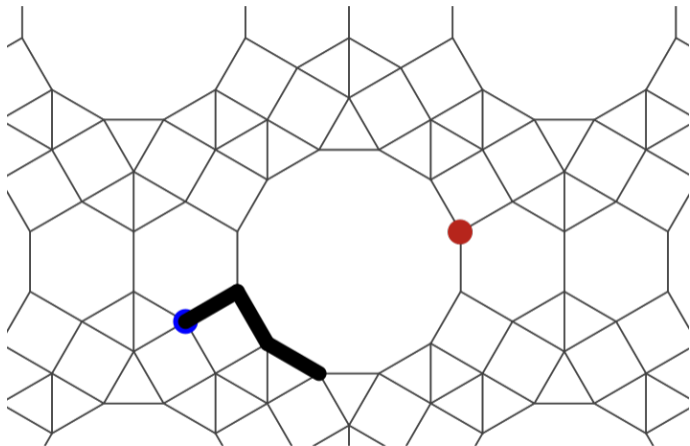
ω

Coordenadas inteiras: vértices en $\mathbb{Z}[\omega]$



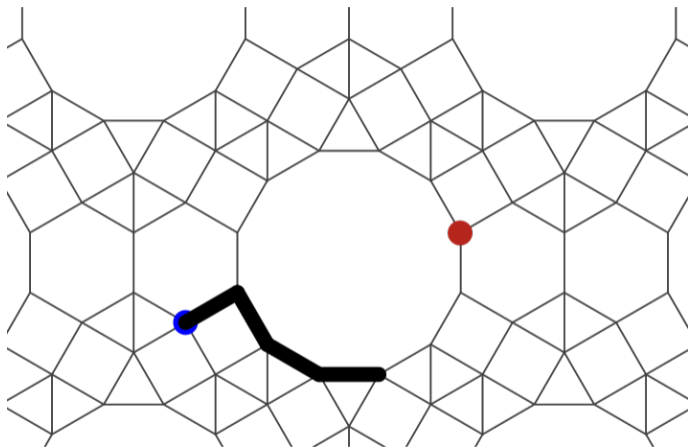
$$\omega + \omega^{10}$$

Coordenadas inteiras: vértices en $\mathbb{Z}[\omega]$



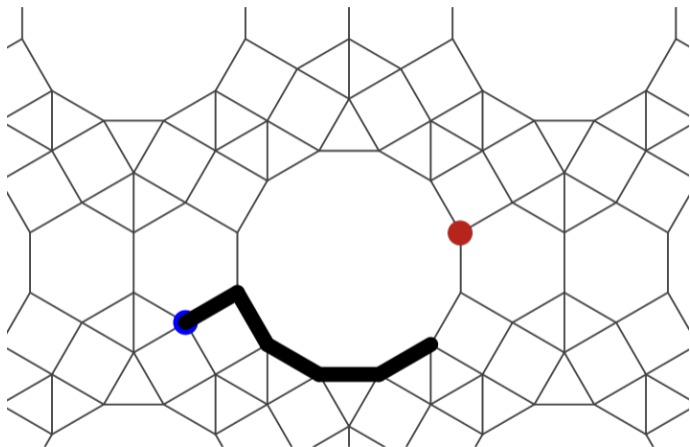
$$\omega + \omega^{10} + \omega^{11}$$

Coordenadas inteiras: vértices en $\mathbb{Z}[\omega]$



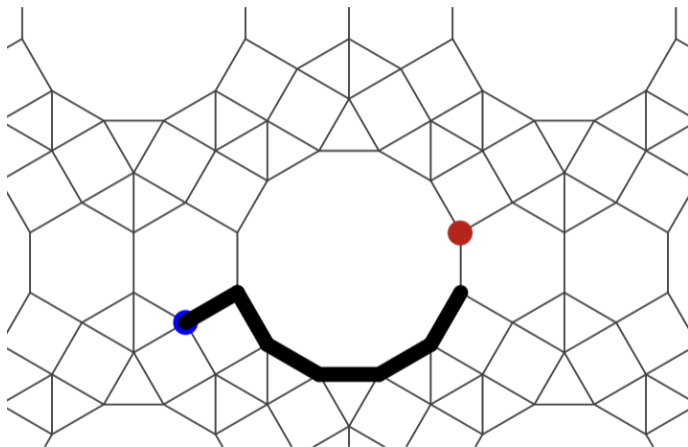
$$\omega + \omega^{10} + \omega^{11} + \omega^0$$

Coordenadas inteiras: vértices en $\mathbb{Z}[\omega]$



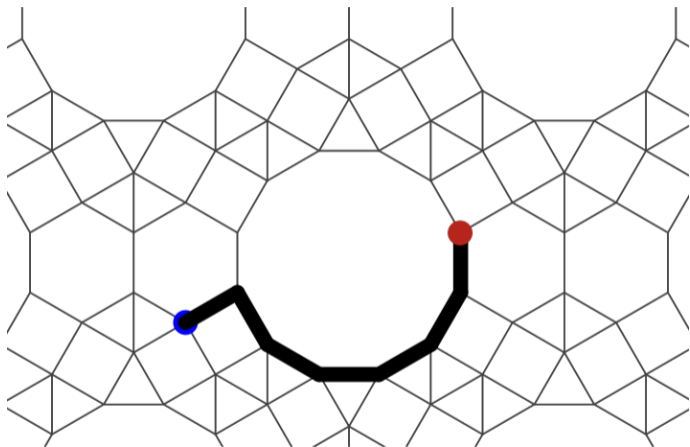
$$\omega + \omega^{10} + \omega^{11} + \omega^0 + \omega$$

Coordenadas inteiras: vértices en $\mathbb{Z}[\omega]$



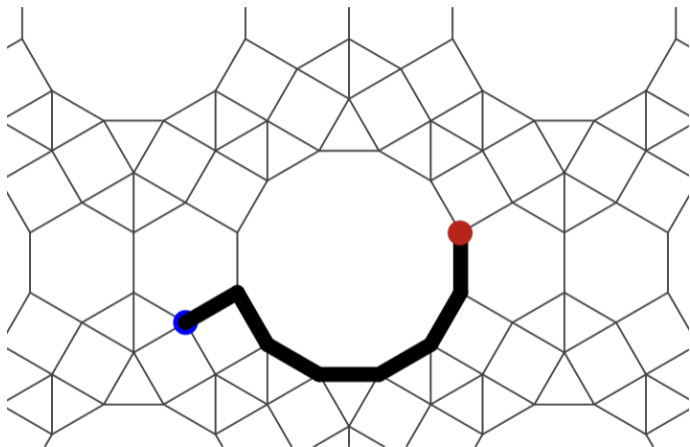
$$\omega + \omega^{10} + \omega^{11} + \omega^0 + \omega + \omega^2$$

Coordenadas inteiras: vértices en $\mathbb{Z}[\omega]$



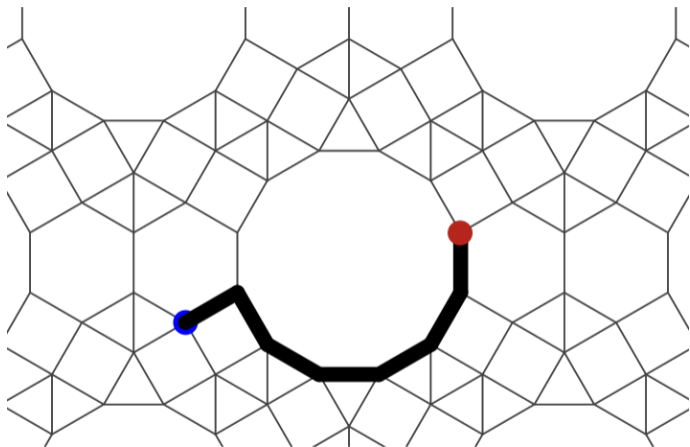
$$\omega + \omega^{10} + \omega^{11} + \omega^0 + \omega + \omega^2 + \omega^3$$

Coordenadas inteiras: vértices en $\mathbb{Z}[\omega]$



$$\omega + \omega^{10} + \omega^{11} + \omega^0 + \omega + \omega^2 + \omega^3 = \omega^{11} + \omega^{10} + \omega^3 + \omega^2 + 2\omega + 1$$

Coordenadas inteiras: vértices en $\mathbb{Z}[\omega]$



$$\omega + \omega^{10} + \omega^{11} + \omega^0 + \omega + \omega^2 + \omega^3 = \omega^{11} + \omega^{10} + \omega^3 + \omega^2 + 2\omega + 1 = V - O$$

Coordenadas inteiras

Vértices e vetores de translação podem ser expresados como polinômios em ω .

Porém, podemos alcançar um vértice por caminhos distintos...

Coordenadas inteiras

Vértices e vetores de translação podem ser expresados como polinômios em ω .

Porém, podemos alcançar um vértice por caminhos distintos...

Polinômios em $\mathbb{Z}[\omega]$ podem se reduzir mod $\omega^4 - \omega^2 + 1$ (12º polinômio ciclotômico) para obter uma **representação única!**

Coordenadas inteiras

Vértices e vetores de translação podem ser expresados como polinômios em ω .

Porém, podemos alcançar um vértice por caminhos distintos...

Polinômios em $\mathbb{Z}[\omega]$ podem se reduzir mod $\omega^4 - \omega^2 + 1$ (12º polinômio ciclotômico) para obter uma **representação única!**

Logo,

$$\mathbb{Z}[\omega] = \mathbb{Z}1 + \mathbb{Z}\omega + \mathbb{Z}\omega^2 + \mathbb{Z}\omega^3$$

Coordenadas inteiras

Vértices e vetores de translação podem ser expresados como polinômios em ω .

Porém, podemos alcançar um vértice por caminhos distintos...

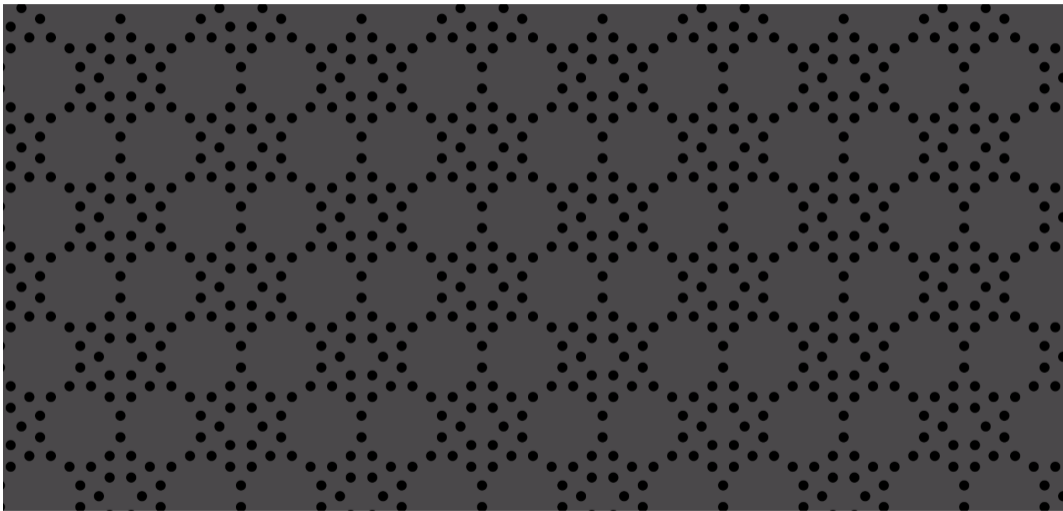
Polinômios em $\mathbb{Z}[\omega]$ podem se reduzir mod $\omega^4 - \omega^2 + 1$ (12º polinômio ciclotômico) para obter uma **representação única!**

Logo,

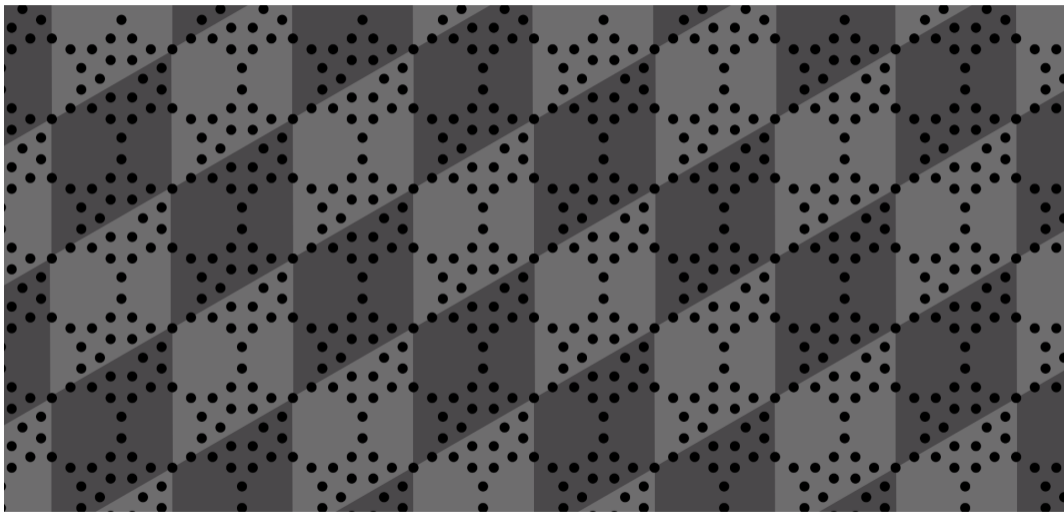
$$\mathbb{Z}[\omega] = \mathbb{Z}1 + \mathbb{Z}\omega + \mathbb{Z}\omega^2 + \mathbb{Z}\omega^3$$

$$\begin{aligned}\omega^0 &= [1, 0, 0, 0] \\ \omega^1 &= [0, 1, 0, 0] \\ \omega^2 &= [0, 0, 1, 0] \\ \omega^3 &= [0, 0, 0, 1] \\ \omega^4 &= -1 + \omega^2 = [-1, 0, 1, 0] \\ \omega^5 &= -\omega + \omega^3 = [0, -1, 0, 1] \\ \omega^6 &= -1 = [-1, 0, 0, 0] \\ \omega^7 &= -\omega = [0, -1, 0, 0] \\ \omega^8 &= -\omega^2 = [0, 0, -1, 0] \\ \omega^9 &= -\omega^3 = [0, 0, 0, -1] \\ \omega^{10} &= 1 - \omega^2 = [1, 0, -1, 0] \\ \omega^{11} &= \omega - \omega^3 = [0, 1, 0, -1]\end{aligned}$$

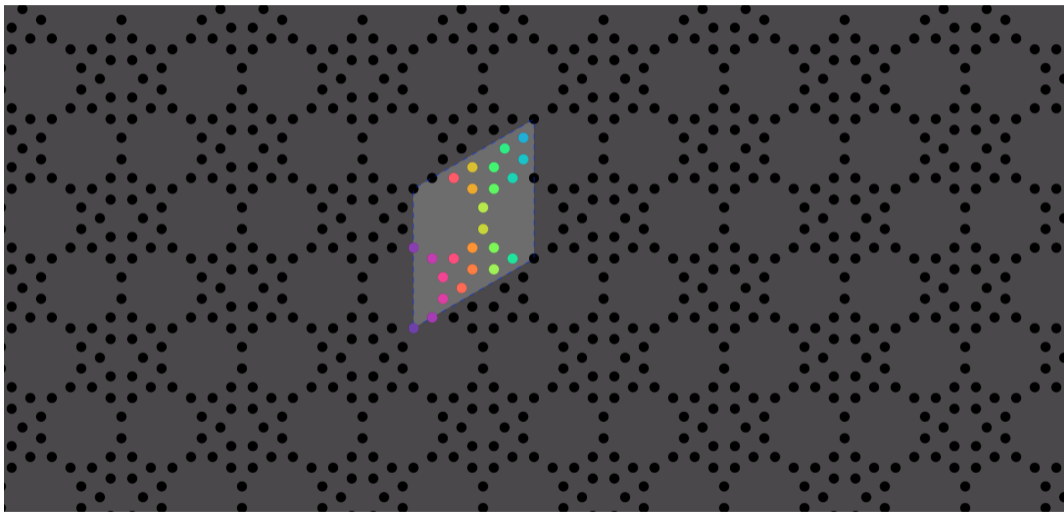
Representação: periodicidade



Representação: equivalência por translação

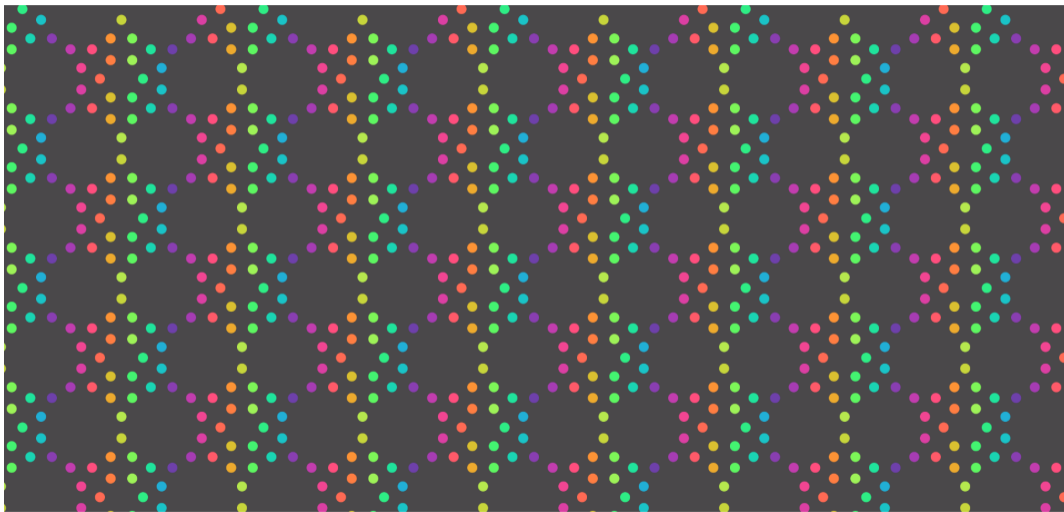


Representação: região fundamental



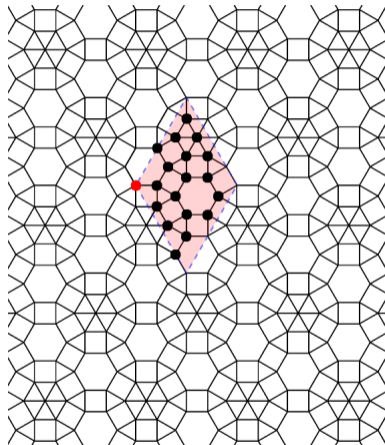
Representação: sistema interligado de potos

(Hilbert & Cohn-Vossen)



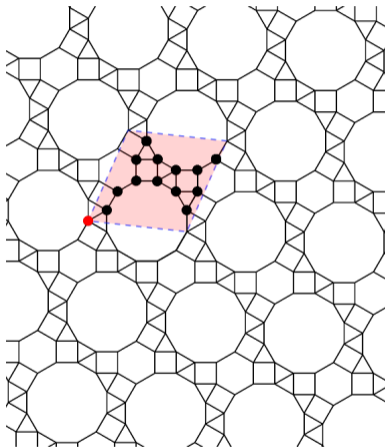
Representação: exemplos

$$\begin{bmatrix} 3 & 1 & -3 & -2 \\ 0 & 1 & 3 & 1 \\ \hline 0 & 0 & 0 & 0 \\ 1 & 0 & 0 & -1 \\ 1 & 0 & 0 & 0 \\ 0 & 0 & 2 & 0 \\ 2 & 0 & -1 & -1 \\ 1 & 0 & 1 & 0 \\ 2 & 1 & -2 & -2 \\ 1 & 1 & 0 & -1 \\ 0 & 1 & 2 & 0 \\ 2 & 1 & -1 & -2 \\ 2 & 1 & -1 & -1 \\ 1 & 1 & 1 & -1 \\ 1 & 1 & 1 & 0 \\ 0 & 1 & 3 & 0 \\ 1 & 1 & 2 & 0 \\ 2 & 1 & 1 & 0 \\ 3 & 1 & -1 & -1 \\ 2 & 1 & 1 & -1 \\ 3 & 1 & 0 & -1 \end{bmatrix} =$$



Galebach: t4105

Representação: exemplos



Sa&Sa: HLMP, Galebach: t4030

$$= \begin{bmatrix} 0 & 1 & 2 & 2 \\ 2 & 3 & 0 & -2 \\ \hline 0 & 0 & 0 & 0 \\ 0 & 1 & 0 & 0 \\ 0 & 1 & 1 & 0 \\ 0 & 2 & 1 & 0 \\ 0 & 2 & 1 & 1 \\ 0 & 2 & 2 & 1 \\ 1 & 2 & 1 & 1 \\ 1 & 2 & 1 & 0 \\ 1 & 3 & 1 & 0 \\ 1 & 3 & 1 & -1 \\ 2 & 3 & 0 & -1 \\ 2 & 3 & 1 & -1 \\ 2 & 3 & 1 & 0 \\ 2 & 4 & 1 & 0 \end{bmatrix}$$



ELSEVIER

Contents lists available at [ScienceDirect](#)

Computers & Graphics

journal homepage: www.elsevier.com/locate/cag



Technical Section

An integer representation for periodic tilings of the plane by regular polygons

José Ezequiel Soto Sánchez^a, Tim Weyrich^b, Asla Medeiros e Sá^c, Luiz Henrique de Figueiredo^{a,*}

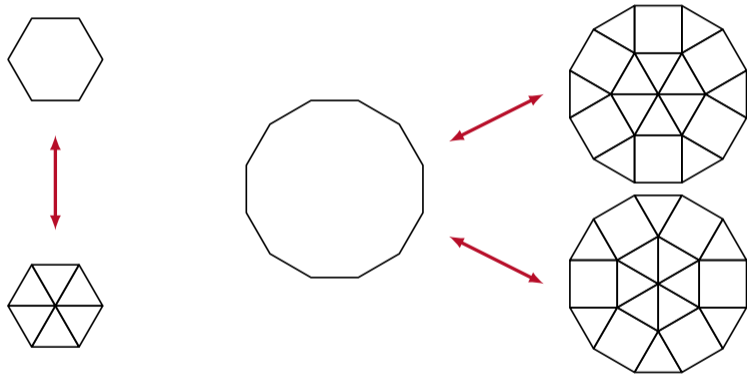
^a *IMPA, Rio de Janeiro, Brazil*

^b *University College London, United Kingdom*

^c *FGV EMAP, Rio de Janeiro, Brazil*

Quadrados e triângulos

Densidade: contém todas as de polígonos regulares



Além disso...

- ▶ Quasicristais com simetria dodecagonal.

Além disso...

- ▶ Quasicristais com simetria dodecagonal.
- ▶ Ladrilhamentos aperiódicos por substituição.

Além disso...

- ▶ Quasicristais com simetria dodecagonal.
- ▶ Ladrilhamentos aperiódicos por substituição.
- ▶ Empacotamentos *justos* de círculos.

Além disso...

- ▶ Quasicristais com simetria dodecagonal.
- ▶ Ladrilhamentos aperiódicos por substituição.
- ▶ Empacotamentos *justos* de círculos.
- ▶ Modelagem de materia *mole*.

Por exemplo (Oxborrow & Henley, 1993)

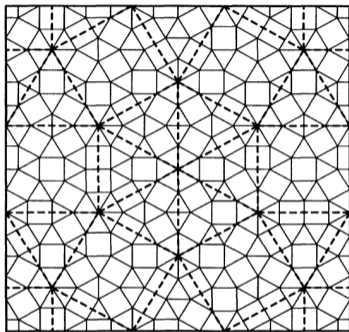
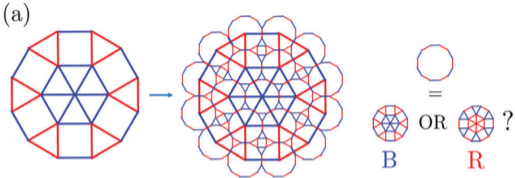


FIG. 5. Random-Stampfli inflation: a big parent square-triangle tiling (thick, dashed lines) and an offspring square-triangle tiling (thin, solid lines); both are periodic over the same, square unit cell (thick, solid lines).

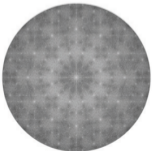
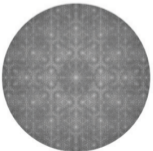
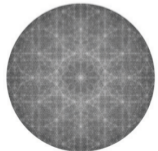
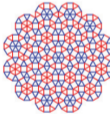
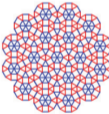
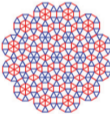
Por exemplo (Impérator-Clerc et al., 2021)



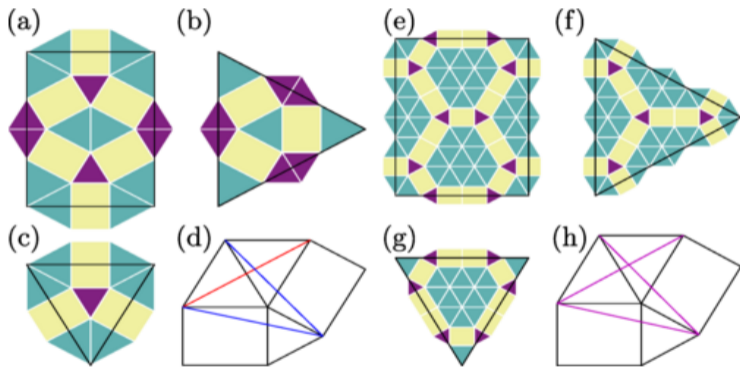
(b) dodecagonal QC

(c) hexagonal QC

(d) random choice

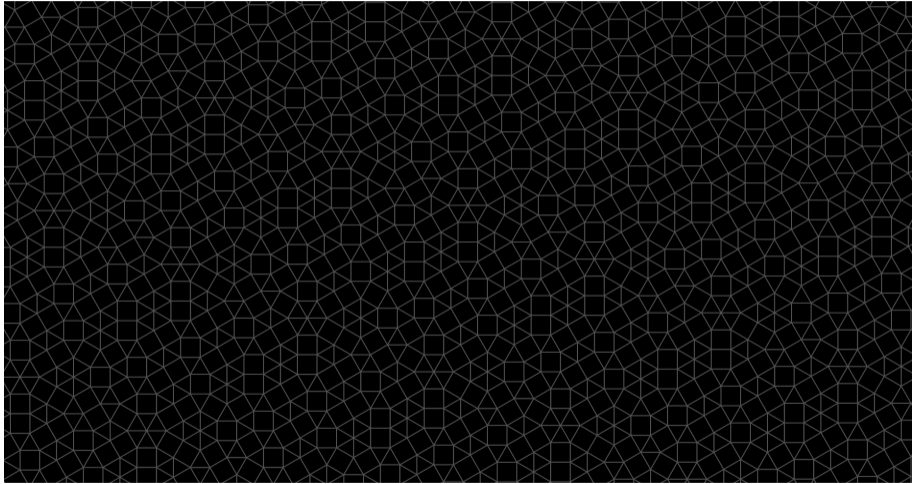


Por exemplo (Archer et al., 2022)

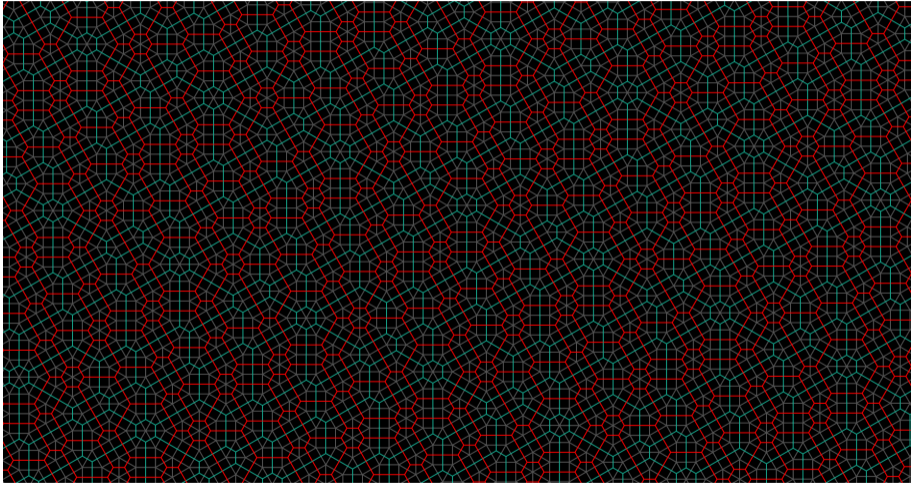


Origami e duas restrições

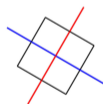
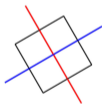
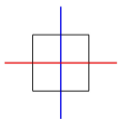
Duais coloridos



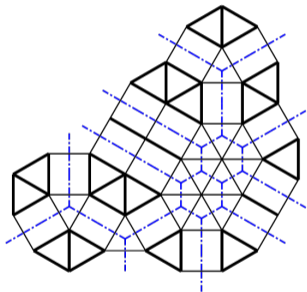
Duais coloridos



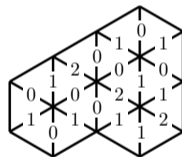
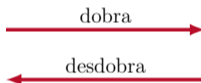
Duais coloridos



Operações de origami

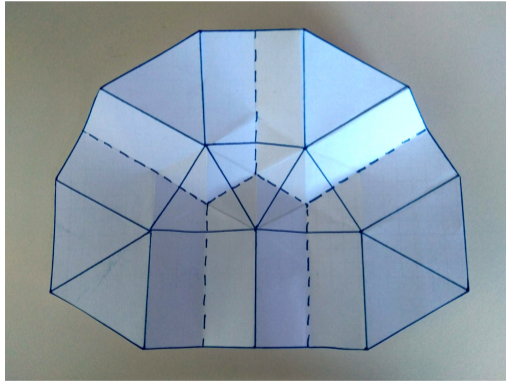


Dobradura no dual

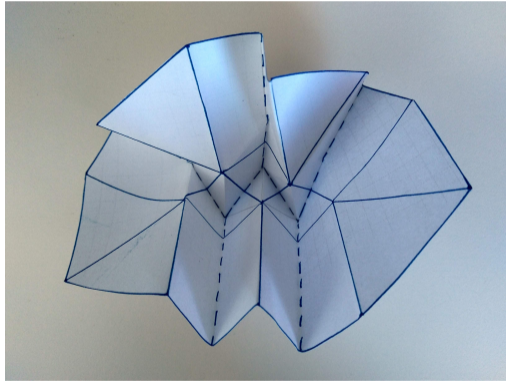


Triângulos em $\Lambda(\omega, \omega^3)$
+ etiquetas nas arestas

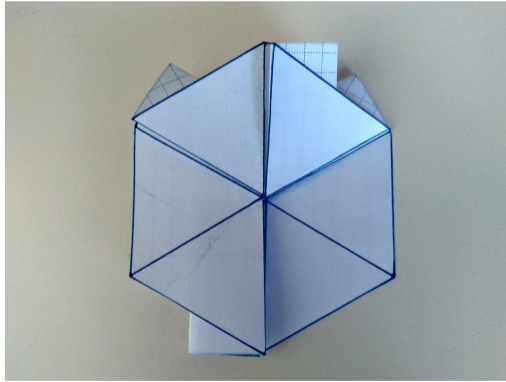
Operações de origami



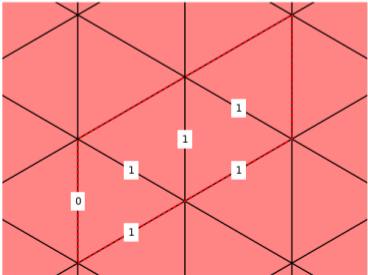
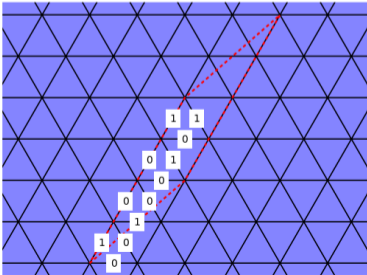
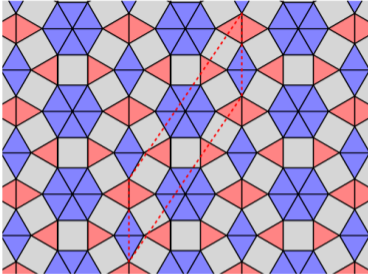
Operações de origami



Operações de origami

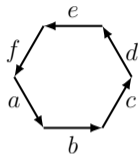


Equivalência dupla



*Estrutura algébrica e
estratégias generativas*

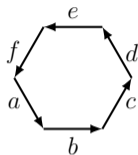
Etiquetas: restrições geométricas



$a\omega^{10} + b\omega^0 + c\omega^2 + d\omega^4 + e\omega^6 + f\omega^8 = 0$, isto é:

$$\begin{pmatrix} 1 & 1 & 0 & -1 & -1 & 0 \\ -1 & 0 & 1 & 1 & 0 & -1 \end{pmatrix} \begin{pmatrix} a \\ b \\ c \\ d \\ e \\ f \end{pmatrix} = 0.$$

Etiquetas: restrições geométricas

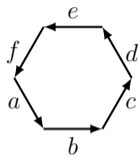


$a\omega^{10} + b\omega^0 + c\omega^2 + d\omega^4 + e\omega^6 + f\omega^8 = 0$, isto é:

$$\begin{pmatrix} 1 & 1 & 0 & -1 & -1 & 0 \\ -1 & 0 & 1 & 1 & 0 & -1 \end{pmatrix} \begin{pmatrix} a \\ b \\ c \\ d \\ e \\ f \end{pmatrix} = 0.$$

$\xi \in \mathbb{Z}^{3h}$ é o vetor de etiquetas do grafo hexagonal (triangular) com h caras (vértices).

Etiquetas: restrições geométricas



$a\omega^{10} + b\omega^0 + c\omega^2 + d\omega^4 + e\omega^6 + f\omega^8 = 0$, isto é:

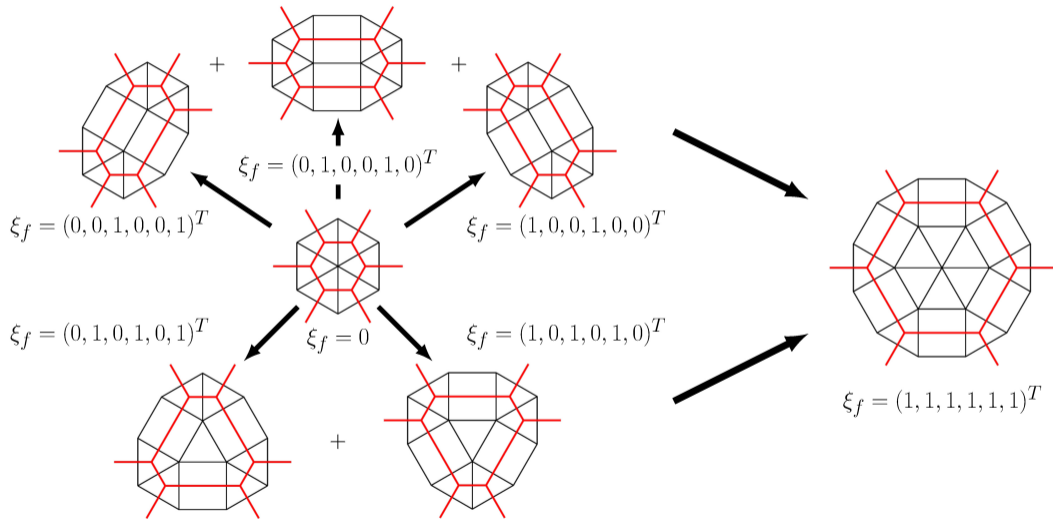
$$\begin{pmatrix} 1 & 1 & 0 & -1 & -1 & 0 \\ -1 & 0 & 1 & 1 & 0 & -1 \end{pmatrix} \begin{pmatrix} a \\ b \\ c \\ d \\ e \\ f \end{pmatrix} = 0.$$

$\xi \in \mathbb{Z}^{3h}$ é o vetor de etiquetas do grafo hexagonal (triangular) com h caras (vértices).

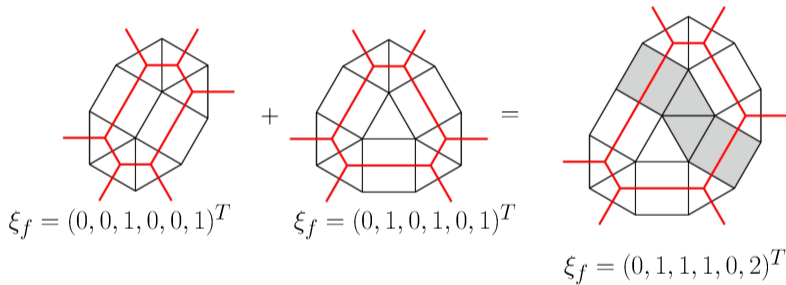
ξ é um **etiquetamento válido** se e só se satisfaz as restrições geométricas em todos os vértices, um sistema linear esparsa de $2h \times 3h$:

$$G\xi = 0, \quad \xi \geq 0$$

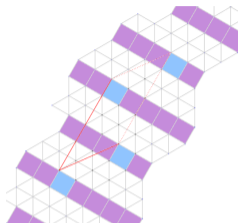
Estructura algebraica e origami



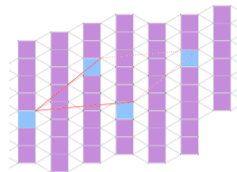
Estructura algebraica e origami



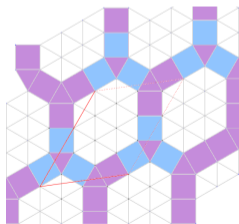
Estructura algebraica e origami



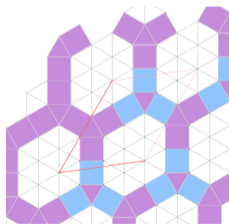
X^4



X^{10}



X^1



X^5

Estructura algebraica e origami

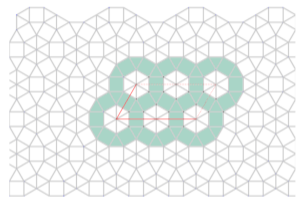
$$2 \left(\begin{array}{c} \text{Diagram 1} \\ (0, 0, 0, 0, 0, 1, 0, 0, 1, 0, 0, 0)^T \end{array} \right) + \begin{array}{c} \text{Diagram 2} \\ (1, 0, 1, 1, 1, 0, 0, 0, 0, 0, 1, 0)^T \end{array} =$$

The first diagram shows a grid with three blue parallelogram-shaped regions. A red triangle is drawn within the central region. The second diagram shows a grid with a central purple circular pattern and three blue diagonal lines.

$$\begin{array}{c} \text{Diagram 3} \\ (0, 0, 0, 0, 0, 2, 0, 0, 2, 0, 0, 0)^T \end{array} + \begin{array}{c} \text{Diagram 2} \\ (1, 0, 1, 1, 1, 0, 0, 0, 0, 0, 1, 0)^T \end{array} = \begin{array}{c} \tau \\ \text{Diagram 4} \\ (1, 0, 1, 1, 1, 2, 0, 0, 2, 0, 1, 0)^T \end{array}$$

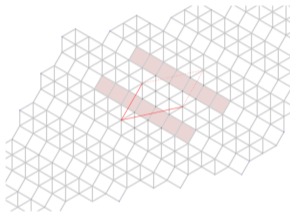
The third diagram is similar to the first but with two blue parallelogram regions. The fourth diagram is a combination of the purple pattern and blue diagonal lines from the second diagram, with two additional blue parallelogram regions. A red triangle is also present in the fourth diagram.

Estructura algebraica e origami



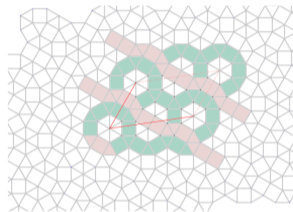
X^1

+



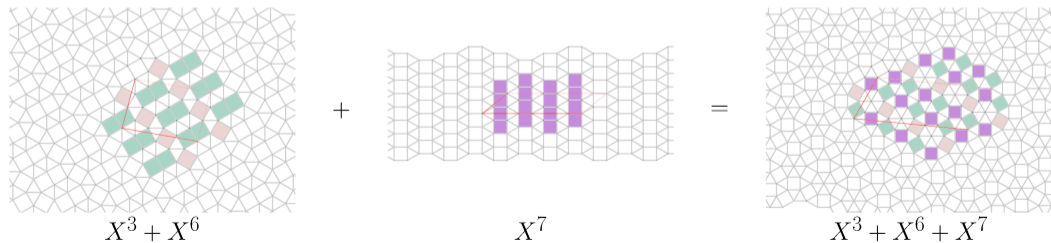
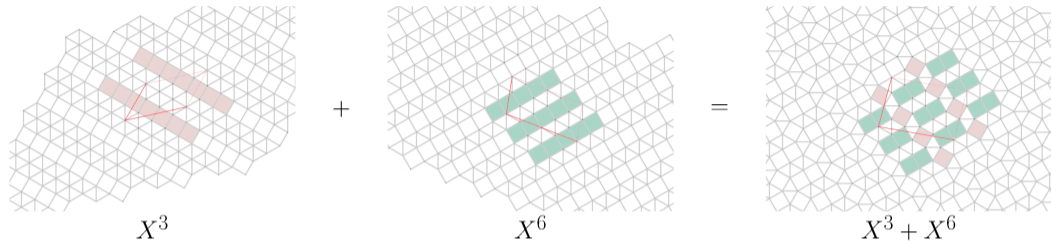
X^3

=



$X^1 + X^3$

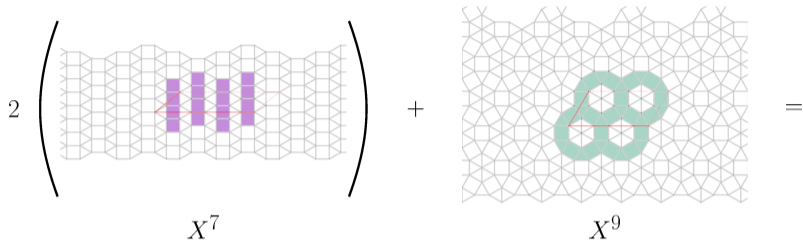
Estructura algebraica e origami

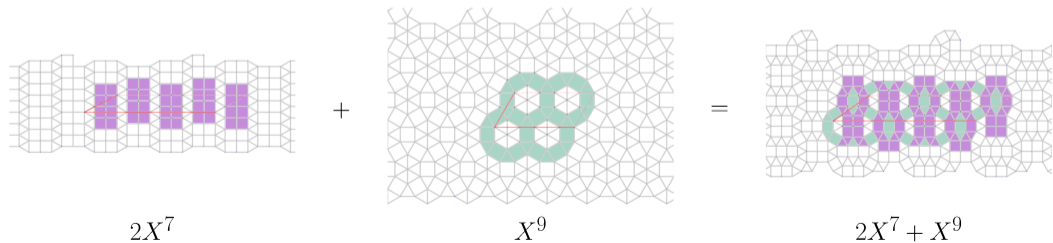


Estructura algebraica e origami

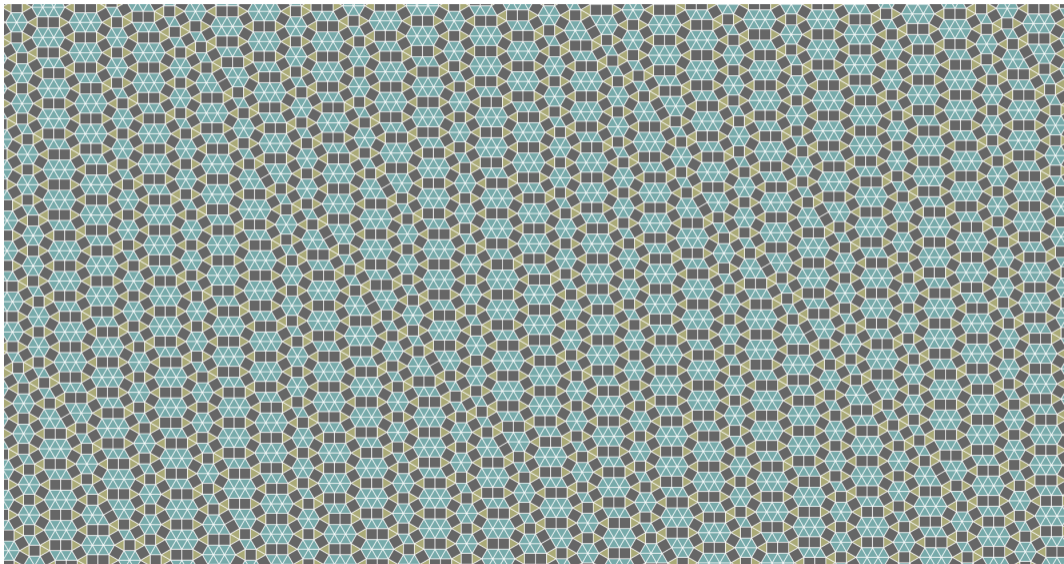
$$2 \left(\text{Diagram 1} \right) + \text{Diagram 2} =$$

X^7 X^9

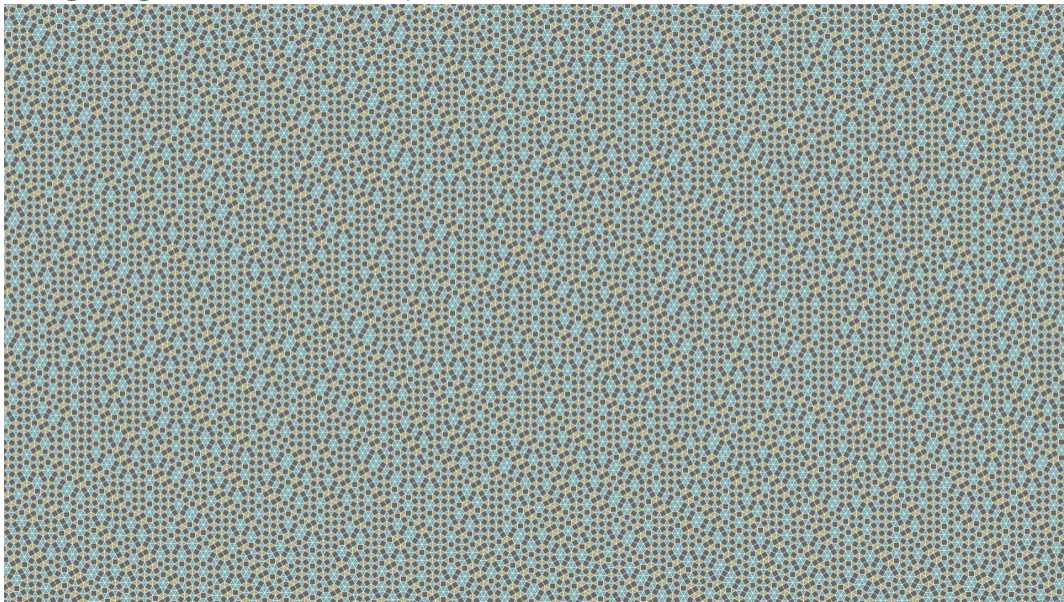


$$2X^7 + X^9 = \text{Diagram 3}$$


Estratégias generativas: inflação alternada



Estratégias generativas: inflação alternada



Obrigado LHF

Feliz aniversário!